

## استعمال مركزة ذات حلقات معدنية غير منتظمة الاقطار لتجميع حزمة الامونيا الجزئية

ضياء حمدي العميدي

تاريخ قبول النشر ٢٠٠٤/٨/١٧

### المخلص

لقد اجريت دراسات مستفيضة حول توزيع المجال الكهربائي المستقر غير المتجانس داخل المركزة التي تحتوي على حلقات معدنية ذات انحدار قطري موجب إلى موقع المنتصف ليكون في قيمته القصوى يعقبه انحدار قطري سالب وبنفس الدرجة إلى النهاية الاخرى للمركزة ، تتوزع عليها كهربائية مستقرة بشكل متعاقب. ولقد انصبت الدراسات العملية في السابق على الجزيئات التي تقوم المركزة بانتقائها أثناء مرورها خارج هذه المركزة. يتناول هذا البحث دراسة توزيع المجال الكهربائي المستقر خارج المركزة التي تحتوي على حلقات معدنية غير منتظمة الاقطار باستعمال حزمة من جزيئات الامونيا مع مقارنته مع نظيره داخل المركزة. وقد اوضحت النتائج موافقتها للدراسات العملية السابقة.

### المقدمة

في الحالة الكمية التي تقوم بها المركزة تعتمد على طاقة تفاعل ستارك عبر مدى واسع من قيم المجال الكهربائي غير المتجانس للمركزة والذي يؤثر بقوة على العزم ثنائي القطب المحتب للجزيئات المارة عبر المركزة<sup>[١٤]</sup>. فإذا أمررنا غاز الامونيا الموجودة في حالة الانقلاب ( $J = K = 3$ ) فإن انتقاء الجزيئات التي تزداد طاقتها بتسليط المجال الكهربائي عليها يمكن إنجازها باستعمال أنظمة من المركزات التي تزداد فيها قيمة المجال الكهربائي في الاتجاه الشعاعي أو المستعرض بالنسبة لاتجاه الحزمة الجزيئية المارة من خلالها. أما الجزيئات التي تتناقص بتسليط المجال الكهربائي فلا يتم انتقاؤها في محور الحزمة الجزيئية وإنما خارج محورها. ان الشرط الضروري لانتقاء الجزيئات هو ان الطاقة الحركية الشعاعية للجزيئات يجب أن تكون اقل من من طاقة ستارك العظمى  $W_{i\max}$  المذكورة في المصدر رقم<sup>[١٤]</sup> عندما تكون  $I = I_{\max}$  بحيث ان:

لقد وجدت منظومات المجال الكهربائي المستعملة في تجميع واحراف الحزمة الجزيئية تطبيقات عملية واسعة في:

- ١- المجالات الطيفية المستعملة في حساب عزم ثنائي القطب.
- ٢- تشتت الحزمة الجزيئية المستعملة في الدراسات الفيزيائية والكيميائية.
- ٣- حزمة الميزر الجزيئية.

ان تجميع الجزيئات من الحزمة الجزيئية والعمل على احرفها بوساطة استعمال المجال الكهربائي المستقر غير المتجانس كان لها الاهتمام البالغ من قبل عدة مجاميع بحثية<sup>[١٥،١٦،١٧،١٨]</sup>. اما المكونات الاساسية للاجهزة المستعملة في حزمة الميزر الجزيئية فهي: أ- المصدر الغازي الذي يتخذ اشكال مختلفة. ب- الوسط الفعال الذي يتكون من المركزة التي تقوم بانتقاء وتجميع الجزيئات. وتكون هذه المركزات على ثلاث انواع تبعا لاتجاه المجال الكهربائي بالنسبة لاتجاه الحزمة الجزيئية<sup>[١٦-١٣]</sup>. ج- فجوة المايكرويف الرنانة التي تنغم الى تردد معين تبعا للخط الطيفي الذي يحصل فيه التهيج. ان عملية تجميع الجزيئات

تتبع حزمة غاز الاسونيا من النفثات nozzle وتر من خلال فتحة قطرها ٤ ملم ثم تسير خارج المركزه ( التي يكون قطر أول حلقاتها صغيرا ) فتتأثر الحزمة بالمجال الكهربائي المستقر الخارجي لها والذي يقوم بتجميعها في كاشف الحزمة الجزئية المكون من فجوة رنانة اسطوانية الشكل من طراز E010 تعمل بتردد ٢٣,٨٧٠ ميگاهرتز عند الخط الطيفي (  $J = k = 3$  ) لغاز الامونيا  $^{14}\text{NH}_3$ .

أما المركزه ذات الحلقات المعدنية غير منتظمة الأقطار والموضحة في الشكل (١-ب) فإنها تتألف من ١٢ قطبا يكون كل منها على شكل حلقة دائرية الشكل. إذ تحمل أقطابها المتجاورة فولتية مقدارها (D) و (D) ويمكن تسليط فولتية مقدارها ٣٠ كيلوفولت بين أقطابها المتجاورة. أما قطر اصغر حلقاتها فيكون مساويا الى ٢ ملم ، في حين ان قطر اكبر حلقاتها يكون مساويا الى ١٠ ملم و يبلغ الطول الكلي للمركزه ١٢٠ ملم . في حين ان المركزه ذات الحلقات المعدنية المنتظمة الأقطار تكون مشابهة الى حد كبير الى المركزه التي اقترحت من قبل المجموعة البحثية [١٧].

### الحسابات النظرية

أ- ان افضل طول يمكن استعماله لهذا النوع من المركزات هو ١٢٠ ملم

ب- عندما تكون  $\rho_0 = a_1$  فإن هذه المركزه تصبح مركزه ذات حلقات معدنية دائرية منتظمة الأقطار وأن افضل قيمة للمجال الكهربائي يمكن الحصول عليها باستعمال هذه المركزه عندما تكون  $\rho_0 = a_1$  عند الحاجة الى امرار الحزمة الجزئية خارج المركزه وذلك خلال الحلقة الاولى منها. الشكل (٢).

ج- باستعمال المعادلتين (٢) و (٣) تم حساب معامل المجال الكهربائي  $L$  خارج المركزه كدالة للمسافة الشعاعية المختزلة  $\rho/\rho_0$  بدء من مركز المركزه لقيم ثابتة من  $8z/\ell$  عندما تكون  $\rho \geq \rho_0 = 1$  للمركزه التي يبلغ طولها ١٢٠ ملم وفيها قيمة  $a_1 = 0.2\rho_0$  وذلك للحلقة الاولى الموجودة وسط المركزه كما يوضح ذلك الشكل (٣) ، ويمكن الحصول على اشكال بيانية مشابهة للحلقة الثانية والثالثة بعد الحلقة الموجوده في المركز. الشكلين (٤ ، ٥) ولقد تم ايضا حساب معامل المجال الكهربائي خارج المركزه كدالة للموقع  $z$  ولقيم ثابتة من  $\rho/\rho_0$  عندما تكون  $\rho \geq \rho_0 = 1$  وللمركزه التي يبلغ طولها ١٢٠ ملم وفيها قيمة  $a_1 = 0.2\rho_0$

$$\frac{1}{2}mv_1^2 \ll E_{\max} = \frac{1}{2}mv_c^2$$

اذ ان  $m$  تمثل كتلة الجزئية ،  $v_1$  سرعة الجزئية الشعاعية أو العرضية وأن  $v_c$  سرعة الجزئية العرضية الحرجة المطلوبة للحصول على عملية انتقال الجزئيات. ان المركزه ذات الحلقات المعدنية غير منتظمة الأقطار تعد تحويل للمركزه ذات الحلقات المعدنية منتظمة الأقطار التي استعملت من قبل الباحثين السابقين [١٨-١٥]. فقد اقترحت من قبل Kazachok [١٩] وقد تمت دراسة تفصيلية وشاملة لتوزيع المجال الكهربائي [٢٠، ٢١، ٢٢] بدأ من محورها وانتهاء بأقطابها وساتطرق في هذه الدراسة الى توزيع المجال الكهربائي بدأ من أقطابها ولغاية مسافة تساوي ضعف قطرها عن مركزها.

### النظرية

لغرض معرفة الجهد الكهربائي لهذه المركزه لابد من معرفة الجهد الكهربائي المستقر للمركزه منتظمة الحلقات الموضحة في الشكل (١-أ) المذكور في العلاقة الاتية [٢٣]:

$$\phi(\rho, z) = \frac{0.6U_0}{k_0(\pi\rho_0/\ell)} k_0(\pi\rho/\ell) \sin(\pi z/\ell) \quad (1)$$

$$\frac{0.1U_0}{k_0(3\pi\rho_0/\ell)} k_0(3\pi\rho/\ell) \sin(3\pi z/\ell)$$

حيث يمثل  $z$  محور المركزه  $\rho$  المسافة الشعاعية محسوبة بدء من محور المركزه وحتى نقطة معينة ،  $\ell$  المسافة الفاصلة بين حلقتين متتاليتين ،  $k_0$  دالة بزل ( Bessel function ) ذات المرتبة الصفرية والبرهان الخيالي النقسي ،  $U_0$  الجهد المسلط على المركزه نسبة الى الارض. وللمركزه المستعملة في هذا البحث يتم التعويض عن  $\ell$  بالقيمة الاتية والمذكورة من قبل Kazachok [١٩]

$$\rho(z) = a_1 + a_0 \left(1 - \frac{z^2}{L^2}\right) \quad (2)$$

على ان تكون  $1 < \frac{z^2}{L^2}$  ، حيث تمثل  $a_1$  نصف

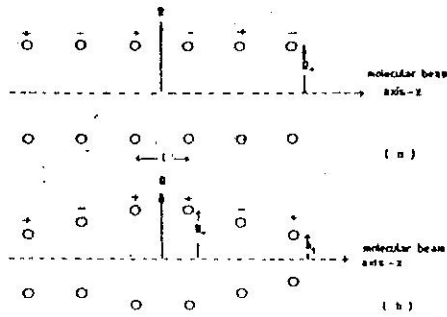
قطر اصغر حلقة من حلقات المركزه ،  $(a_0 + a_1)$  نصف قطر اكبر حلقة من حلقات المركزه ،  $L$  نصف الطول الكلي للمركزه.

أما المجال الكهربائي المستقر الخارجي فيعطى بالمعادلة الاتية :

$$E_{\text{ext}} = \left[ \left( \frac{\partial \phi}{\partial \ell} \right)^2 + \left( \frac{\partial \phi}{\partial z} \right)^2 \right]^{1/2} \quad (3)$$

تكون  $z/\ell = 0$  أي في وسط  
المركزة في حين تتناقص قيمتها عند  
الاقترب من طرفيها.

ج- ان قيم  $E$  تزداد عندما تتراوح قيم  
 $z/\ell$  من  $0.5\ell$  إلى  $1.01\ell$  ،  
حيث ان قيم  $E$  في حالتها النقصان  
والزيادة لا تكون متساوية ويعود  
سبب ذلك لتناقص اقطار الحلقات  
بشكل تدريجي كلما تزداد قيمة  $z/\ell$   
باتجاه نهايتي المركزه. واخيرا فانه  
يمكن الاستنتاج ان هذه المركزة  
تتكون مثلثاتها ذات الحلقات منتظمة  
القطر من ناحية ادائها بحوالي  
١٥%.



الشكل (١) : a - يوضح مقطعا عرضيا لمركزة  
مؤلفة من حلقات منتظمة الاقطار تقع في المستوى  
 $z$  الذي يمثل المحور الجزيئي حيث تسلط جهود  
كهربائية مستقرة  $(+)$  و  $(-)$  بشكل متعاقب  
على حلقاتها.

b - يوضح مقطعا طوليا للمركزة  
ذات الحلقات الدائرية التي يتناقص قطرها بشكل  
تدريجي بدء من وسطها وحتى نهايتها. اذ يمثل  
المحور  $z$  المحور الجزيئي ، اما  $a_1$  فانها تمثل  
نصف قطر اصغر حلقة من حلقاتها في حين تمثل  
 $(a_1 + a)$  نصف قطر اكبر حلقة من حلقاتها .

وذلك للحلقة الاولى والثانية والثالثة والموضحة  
في الاشكال (٦ ، ٧ ، ٨) على التعاقب. اذ يمكن  
حساب قيمة المجال الكهربائي لهذه المركزة  $E_{min}$   
على طول المحور  $z$  عندما تكون  $\rho \geq \rho_0 = 1$   
باستعمال العلاقة الاتية:

$$\bar{E}_m = \frac{1}{2} (E_{max}(\rho_0, z) + E_{min}(\rho_0, z)) \quad (4)$$

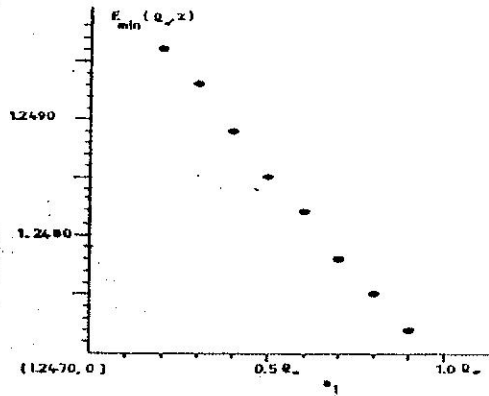
وباستعمال  $E_{min} = 1.18U_0/\ell$  و  
 $E_{max} = 2.82U_0/\ell$  التي نحصل عليها من  
الشكل (٤) فان  $\bar{E}_m = 2.0U_0/\ell$  وذلك  
لأول حلقتين متتاليتين عند الموقع الذي تكون فيه  
 $z/\ell = 0$  وهذه القيمة مساوية لقيمة  $E_{min}$   
للمركزة ذات الحلقات المنتظمة. اما عند اخذ  
الحلقة التالية والتي تتراوح فيها قيمة  $z/\ell$  بين  
 $0.5\ell$  و  $1.5\ell$  فان  $E_{min} = 1.24U_0/\ell$   
و  $E_{max} = 2.82U_0/\ell$  والتي نحصل عليها  
من الشكل (٥) وبذلك فان قيمة  
 $\bar{E}_m = 2.03U_0/\ell$  وعند الاستمرار بفحص  
المركزة واخذ الحلقة التي تتراوح فيها قيم  $z/\ell$   
بين  $1.5\ell$  و  $2.51\ell$  فـ  
 $E_{min} = 1.54U_0/\ell$  و

$E_{max} = 2.82U_0/\ell$  والتي نحصل عليها  
من الشكل (٦) وبذلك فان  
 $\bar{E}_m = 2.18U_0/\ell$  حيث يمكن الاستنتاج  
بان  $E_m$  تكون لها اعظم قيمة عندما تكون قيمة  
 $z/\ell = 0$  اي وسط المركزة في حين تتناقص  
قيمها عند الاقتراب من طرفيها .

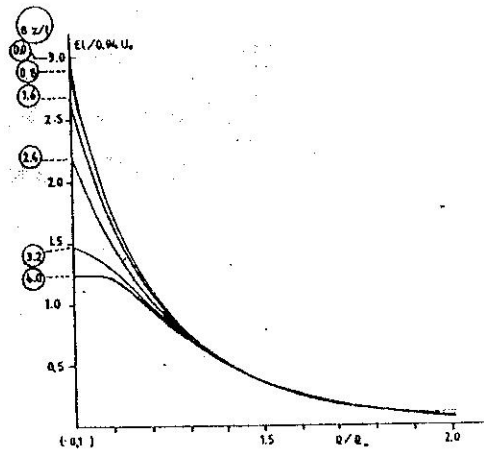
### المنافشة والاستنتاج

أ- يلاحظ من الشكل (٣) ان قيمة شدة  
المجال الكهربائي  $E$  تكون على  
اعظم ما يمكن وتتناقص قيمتها عندما  
تصبح قيمة  $\rho/\rho_0$  مساوية إلى  
١,٣ في حين تهبط قيمتها إلى ٠,٢  
عندما تصبح قيمة  $\rho/\rho_0$  مساوية  
إلى ٠,٢ عندما تصبح قيمة  $\rho/\rho_0$   
مساوية إلى ٢ ( اي ضعف قطر  
حلقاتها).

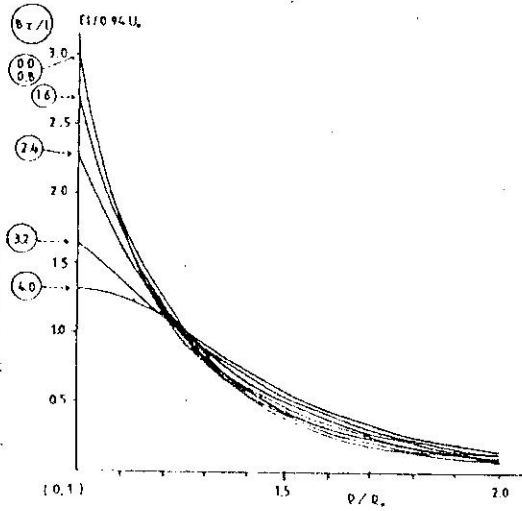
ب- يستنتج من الاشكال (٤ ، ٥ ، ٦) ان  
قيمة  $E_m$  تكون لها اعظم قيمة عندما



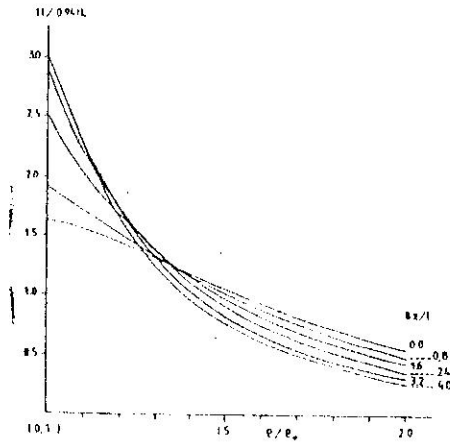
الشكل (2) : يوضح العلاقة بين المجال الكهربائي  $E_{min}(\rho_0, z)$  خارج المركز وقيمة  $\rho_0$  ولقيم ثابتة من  $z/l = 16$  عندما تكون  $\rho \geq \rho_0 = 1$ .



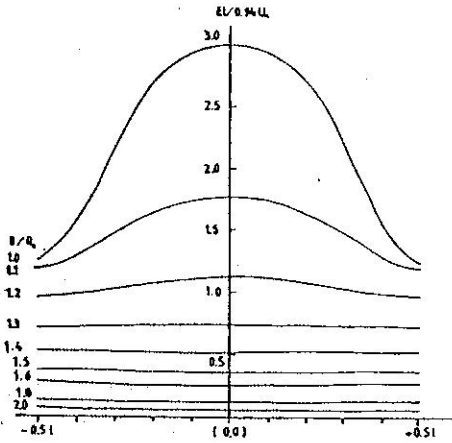
الشكل (3) : يوضح اعتماد معامل المجال الكهربائي خارج المركز على المسافة الشعاعية المختزلة  $\rho/\rho_0$  لقيم ثابتة من  $z/l = 8$  عندما تكون  $\rho \geq \rho_0 = 1$  للمركز التي يبلغ طولها 12 سم وفيها قيمة  $0.2\rho_0$  وذلك للحلقة الأولى الموجودة وسط المركز.



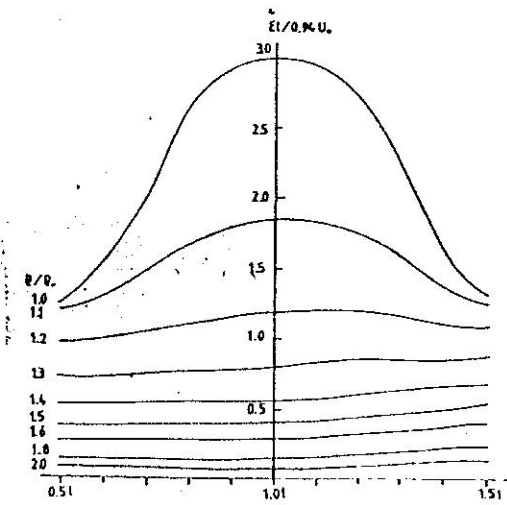
الشكل (4) : يوضح اعتماد معامل المجال الكهربائي خارج المركز على المسافة الشعاعية المختزلة  $\rho/\rho_0$  لقيم ثابتة من  $l$  عندما تكون  $\rho > \rho_0 = 1$  للمركز التي يبلغ طولها 12 سم وفيها قيمة  $0.2\rho_0$  وذلك للحلقة الثانية الموجودة وسط المركز.



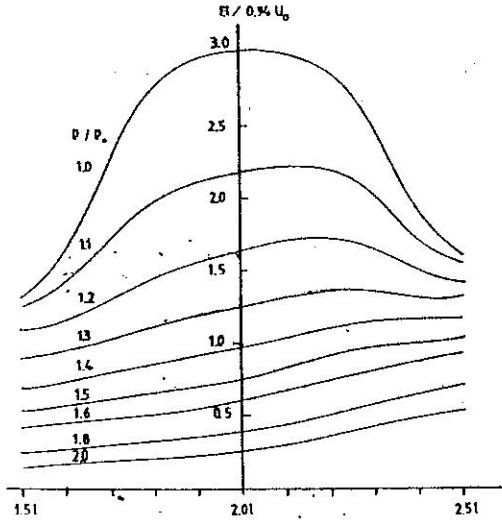
الشكل (5) : يوضح اعتماد معامل المجال الكهربائي خارج المركز على المسافة الشعاعية المختزلة  $\rho/\rho_0$  لقيم ثابتة من  $l$  عندما تكون  $\rho > \rho_0 = 1$  للمركز التي يبلغ طولها 12 سم وفيها قيمة  $0.2\rho_0$  وذلك للحلقة الثالثة الموجودة وسط المركز.



الشكل (6) : يوضح اعتماد معامل المجال الكهربائي خارج المركز في الموقع  $z$  بين الحلقات الدائرية ( $-0.5l \leq z \leq +0.5l$ ) لقيم ثابتة من  $\rho/\rho_0$  عندما تكون  $\rho \geq \rho_0 = 1$  وللمركز التي يبلغ طولها 12 سم وفيها قيمة  $a_1 = 0.2\rho$ .



الشكل (7) : يوضح اعتماد معامل المجال الكهربائي خارج المركز في الموقع  $z$  بين الحلقات الدائرية ( $+0.5l \leq z \leq +1.5l$ ) لقيم ثابتة من  $\rho/\rho_0$  عندما تكون  $\rho \geq \rho_0 = 1$  وللمركز التي يبلغ طولها 12 سم وفيها قيمة  $a_1 = 0.2\rho$ .



الشكل (8) : يوضح اعتماد معامل المجال الكهربائي خارج المركز في الموقع  $z$  بين الحلقات الدائرية ( $-1.5\ell \leq z \leq +2.5\ell$ ) لقيم ثابتة من  $\rho/\rho_0$  عندما تكون  $\rho \geq \rho_0 = 1$  وللمركز التي يبلغ طولها 12 سم وفيها قيمة  $\alpha_1 = 0.2\rho$ .

## REFERENCES

1. Stern, O. 1920. *Z.Phys.*, 2.
2. Gerlach, P. 1921. *Z.Phys* 8:110.
3. Zorn, J.C. and English, T.C. La. 1973. "Advance in Atomic and Molecular Pysics" (Bxtes, D.R. and Estermann, L. Eds) 19:243-321
4. Laine, D.C. 1970. "Molecular beam masers", *Rep. Progr. Phys.*, 33:1001-1067
5. Laine, D.C. 1975. "Advances in Molecular Beam Masers" *Advances in Electronic and Electron Physics*, 39:183-251 Academic Press, New York.
6. Hirono, M. 1959. "Analysis of focuser for maser oscillator". *J. Radio Research laboratory*, 6:512-32.
7. Shimoda, C. 1957. *J.Phys. Soc. Japan.*, 12:1006.
8. Bardo, W. and Laine, D.C. 1971. *J.Phys.E (Scint. Int.)* 4, 595-7.
9. Medinkoov, I. and Parygin, V.N. 1963. *Radiotekh. Electron.* 8:(4) 653.
10. Auerbach, D., Bromberg, E.A. and Wartn. 1966. *J.Chem.Phys.*, 545:2160.
11. Reuss, J. and Nelsson. 1967. *Phys. Lett.*, 25A: 626.
12. Kakatti, D. and Laine, D.C. 1971. *J.Phys. E.(Scint.Inst.)* 4:269-273.
13. Gunther, F. and Schugerl, K. 1972. *Z.Phys.Chem.*, 80:155.
14. Gordon, J.F. 1955. "Hyperfine structure in the inversion spectrum of  $14\text{NH}_3$  by a new high resolution microwave spectrometer" *Phys. Rev.* 99(4):1264-74.
15. Krupnov, A.F. 1959. *Izv. Vus. Radiofizika*, Vol.2, No.4.
16. Sheheglov, V.A. 1961. *Izv. Vyssh. Ucheb.Zaved. Radiofiz.* 4: 648-55.
17. Truman, M.J. and Laine, D.C. 1976. "Anomalous behaviour of an ammonia beam maser employing a ring focuser" *J.Phys. D.: Appl. Phys.*, 9: L175-L178.
18. Al-Amiedy, D.H.H. and Laine, D.C. 1978. "Ring-type state

- الحزمة الجزيئية بواسطة المجال الكهروستاتيكي غير المتجانس باستعمال مركزة ذات حلقات غير منتظمة الاقطار "مجلة الرياضيات والفيزياء ، ١١(١):٣٢٥-٣٣٨
22. Al-Amiedy, D.H. and Taki, A.K. 1992. "State selector of molecules in a molecular beam by inhomogenous electrostatic filed" J. Coll.Educ. for Women/Univ. Baghdad, 3: 78-82.
- selector and space focuser for molecule with positive induce dipole moment "Phys. Lett. 66A, (2) 94-6.
19. Kazachock, V.S. 1965. Soviet. Physics-Technical Physics, 10(6) 882-5.
20. Al-Amiedy, D.H.H., Laine, D.C. and Hope, S. 1982. J. Phys. D: Appl. Phys., 15: 193-205.
٢١. ضياء حمدي العبيدي ، احمد علي الفلاحى ، عبد الجبار عبد الغفور وعدنان عبد اللطيف. ١٩٨٩ " انتقاء الجزيئات من

## State Selection of ammonia molecular beam using tapered ring focuser

Dhia Hamdi Al-Amiedy

Physics Department-College of Science for women-University of Baghdad

### ABSTRACT

Theoretical studies have been carried out for many years of tapered ring focuser including electric field calculation inside the focuser with respect to the molecular beam axis. In this paper a calculation of external field has been made of tapered ring type electrostatic state selector. This calculation showed to have very similar magnitude to that of an already known ring focuser.